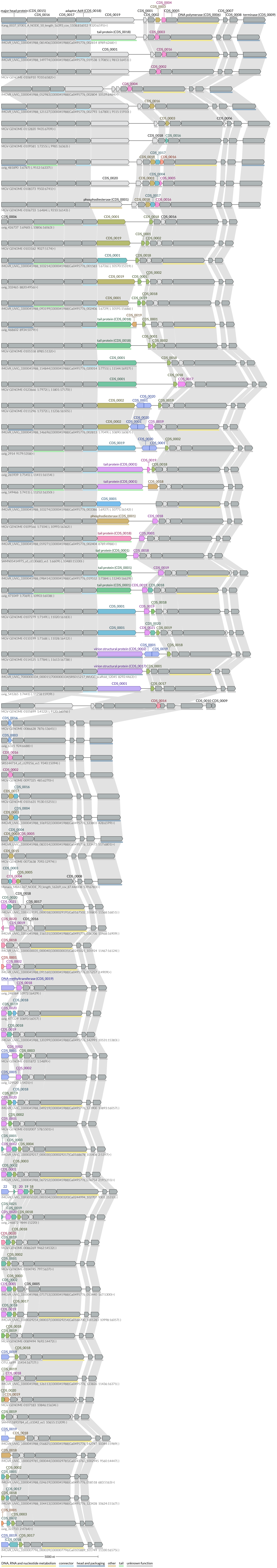
Kang_0037_ST001_A_NODE_50_length_16393_cov_1108.816012 9320:6595(+)
IMGVR_UViG_3300045988_081406|3300045988|Ga0495776_002814 8989:6268(+)
IMGVR_UViG_3300045988_149774|3300045988|Ga0495776_019538 1:7085(-), 9813:16451(-)
MGV-GENOME-0106910 9310:6582(+)
IMGVR_UViG_3300045988_052983|3300045988|Ga0495776_002804 10539:6484(+)
IMGVR_UViG_3300045988_121127|3300045988|Ga0495776_002793 1:6780(-), 9515:15910(-)
MGV-GENOME-0112820 9435:6709(+)
MGV-GENOME-0109581 1:7255(-), 9981:16363(-)
uvig_481890 1:6787(-), 9512:16337(-)
MGV-GENOME-0108373 9502:6741(+)
MGV-GENOME-0106733 1:6484(-), 9210:16143(-)
uvig_426737 1:6960(-), 10806:16063(-)
MGV-GENOME-0103182 9027:5174(+)
IMGVR_UViG_3300045988_103214|3300045988|Ga0495776_001583 1:6726(-), 10570:15319(-)
uvig_332465 8820:4956(+)
IMGVR_UViG_3300045988_093199|3300045988|Ga0495776_002406 1:6729(-), 10591:15686(-)
uvig_468602 8934:5079(+)
MGV-GENOME-0105558 8985:5132(+)
IMGVR_UViG_3300045988_154844|3300045988|Ga0495776_020014 1:7751(-), 11544:16927(-)
MGV-GENOME-0123666 1:7972(-), 11801:17570(-)
MGV-GENOME-0111296 1:7372(-), 11236:16505(-)
IMGVR_UViG_3300045988_146696|3300045988|Ga0495776_002813 1:7049(-), 10890:16087(-)
uvig_2914 9179:5358(+)
uvig_265939 1:7545(-), 11411:16154(-)
uvig_149466 1:7411(-), 11252:16350(-)
IMGVR_UViG_3300045988_103274|3300045988|Ga0495776_003386 1:6927(-), 10771:16142(-)
MGV-GENOME-0109566 1:7104(-), 10993:16362(-)
IMGVR_UViG_3300045988_059271|3300045988|Ga0495776_002404 8789:4988(+)
SAMN05414975_a1_ct130683_vs1 1:6609(-), 10480:15330(-)
IMGVR_UViG_3300045988_098414|3300045988|Ga0495776_019552 1:7384(-), 11240:16629(-)
uvig_471049 1:7069(-), 10903:16038(-)
MGV-GENOME-0107279 1:7149(-), 11020:16183(-)
MGV-GENOME-0110199 1:7168(-), 11028:16412(-)
MGV-GENOME-0114125 1:7784(-), 11613:16738(-)
IMGVR_UVIG_7000000334_000015|7000000334|SRS015217_WUGC_scaffold_12045 8292:4463(+)
uvig_541265 1:7441(-), 11258:15939(-)
MGV-GENOME-0105899 1:4122(-), 9120:16076(-)
MGV-GENOME-0086628 7876:13641(-)
uvig_6321 924:6688(+)
SRS144714_a1_ct29256_vs1 9340:15094(-)
MGV-GENOME-0097325 485:6270(+)
MGV-GENOME-0101631 9130:15251(-)
IMGVR_UViG_3300045988_106932|3300045988|Ga0495776_123803 428:6599(+)
IMGVR_UViG_3300045988_083314|3300045988|Ga0495776_123473 517:6801(+)
MGV-GENOME-0073638 7092:12974(-)
Monaco_MBA1267_NODE_70_length_16269_cov_87.448008 539:6783(+)
IMGVR_UVIG_3300029195_000018|3300029195|Ga0167502_100800 11568:16851(-)
IMGVR_UVIG_3300045988_156531|3300045988|Ga0495776_036706 11468:16909(-)
IMGVR_UVIG_3300030035_000040|3300030035|Ga0245021_101924 11467:16124(-)
IMGVR_UVIG_3300045988_091160|3300045988|Ga0495776_055257 2:4909(+)
uvig_248564 10972:16429(-)
uvig_477229 10893:16057(-)
IMGVR_UVIG_3300045988_120399|3300045988|Ga0495776_142991 10531:15383(-)
MGV-GENOME-0101872 1:5489(+)
uvig_129520 1:5431(+)
IMGVR_UVIG_3300045988_049219|3300045988|Ga0495776_123900 10893:16057(-)
MGV-GENOME-0102007 578:5501(+)
IMGVR_UVIG_3300029217_000030|3300029217|Ga0168678_101408 2:5397(+)
IMGVR_UVIG_3300045988_067252|3300045988|Ga0495776_036754 219:5355(+)
IMGVR_UVIG_3300030320_000104|3300030320|Ga0244994_102707 9301:15310(-)
uvig_246872 9844:15220(-)
MGV-GENOME-0086269 9462:14532(-)
MGV-GENOME-0104745 797:5637(+)
IMGVR_UVIG_3300045988_071753|3300045988|Ga0495776_053440 167:5300(+)
IMGVR_UVIG_3300029254_000037|3300029254|Ga0168700_1001283 10998:16057(-)
MGV-GENOME-0089494 9692:14472(-)
OTU_6699 11454:16717(-)
IMGVR_UVIG_3300045988_126113|3300045988|Ga0495776_123826 11436:16371(-)
MGV-GENOME-0107183 10846:15634(-)
SAMN11893784_a1_ct1042_vs1 10655:15209(-)
IMGVR_UVIG_3300045988_056825|3300045988|Ga0495776_142747 10344:15989(-)
IMGVR_UVIG_3300029785_000044|3300029785|Ga0243763_1002945 9560:14447(-)
IMGVR_UVIG_3300045988_024619|3300045988|Ga0495776_058518 683:5163(+)
IMGVR_UVIG_3300045988_104413|3300045988|Ga0495776_123428 10624:15167(-)
uvig_322733 2:4764(+)
IMGVR_UVIG_3300007796_000039|3300007796|Ga0105889_101749 11330:16575(-)
5000 nt
DNA, RNA and nucleotide metabolism
connector
head and packaging
other
tail
unknown function